

細街路における歩・車共存手法に関する実験的考察

京都大学工学部 正員 天野 光三
 京都大学工学部 正員 小谷 通泰
 京都大学大学院 学生員○山中 英生

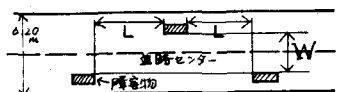
1.はじめに 歩車分離が物理的に不可能な細街路において、歩・車が共存するためには、車の速度抑制が最大の課題であり。交通ルール以外に、道路構造のくづらによる物理的な速度抑制手法が注目されている。本研究では、物理的速度抑制手法の一つである、路上障害物による車道屈曲を取り上げ、その効果について実験的に考察する。

2. 実験の方法

路上障害物の配置パターンによる車の走行特性への影響について検討するために、道路沿道条件等を一定にし、車の単独走行による実験を行なった。実験道路は幅員6.2m、観測区間は45mで、図-1のようになど障害物を配置して車を蛇行させた。配置パターンは図-1のようになどL,Wを変化させて20種を作成し、5人の運転者によって各配置パターンを各人が2回ずつ走行した。したがって実験全体では20種×5人×2回=200回の走行を行なった。結果はシネカムラで記録し、画像データをデジタル化して分析を行なったが、その方法については参考文献(6)に述べてある。デジタル化されたデータを用いて作成した、車の走行動跡図と位置速度変化図の一例を図-2に示す。

3. 平均走行速度と速度低下の傾向

速度抑制効果を車の平均走行速度に着目して分析する。平均走行速度は図-3に示す方法により各サンプルについて算出した。図-4には得られた200サンプルの速度値の分布を横軸に配置パターン、縦軸に速度をとつて図示してある。この図によると、同じ配置パターンでも、速度値にはかなりの変動が見られるものの、全体としてW-Lの減少につれて、速度値が減少している。次に配置パターンによる速度抑制効果の全体の傾向をうえるため、配置パターンごとに10サンプルの平均値 \bar{V} をとり、W-Lとの関係をそれぞれL⁻¹と、W⁻¹と表わして図を図-5、6に示す。さらに図-5には \bar{V} とW-L⁻¹重回帰分析した結果を併記してある。これらによると、配置パターンごとの平均値 \bar{V} は、W-Lの値



実験走行区間
 $L = 7m, 9m, 11m, 13m$
 $W = 0m, 0.5m, 1.0m, 1.5m, 2.0m$
 障害物寸法: 高さ60cm 幅135cm 長さ45cm

図-1 配置パターン基本形

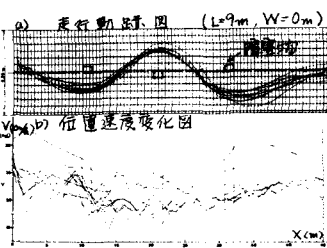
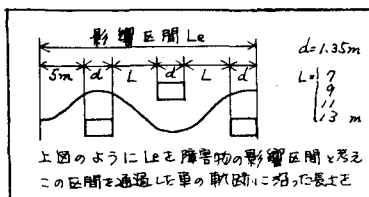


図-2 走行動跡図、位置速度変化図の一例



上図のように L を障害物の影響区間と考え
 この区間を通過して車の前进間に沿った長さを
 計して時間で除して平均速度を求めた。

図-3 平均走行速度の測定方法

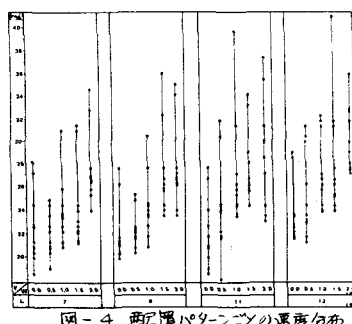


図-4 配置パターンごとの速度分布

Amano Kozo Odani Michiyasu Yamanaka Hideo

との間に強い直線関係があると思われる。

4. 運転者の個人差を考慮して回帰分析

図-4に見られるように、同じ配置パターンでも各運転者の速度値にはかなりの差が見られる。そこで運転者ごとに速度値をW・Lで回帰分析を行なった。この結果を表-1に示す。この結果を見ると、それぞれ決定率が0.5~0.8とほぼ満足すべき回帰が得られている。

各人の速度低下の傾向を見るため、L=13mに固定した場合と、W=2mに固定した場合の運転者ごとの回帰直線を。

それぞれ図-7,8に示す。これら正見ると運転者の速度値にはかなりの差が見られるものの、速度低下の傾向には一様なものがあると考えられる。(ただし運転者3のL=13m

速度への効果については他の比べかなり低くなっている。) ここで運転者による速度値の変動を除去した上で速度抑制効果を見る。この方法として、速度値を各運転者ごとの速度の代表値に対する比率で表すことにし、代表値として、①各運転者の4回の走行における平均値、②同じく最高値、を選んだ。①の代表値に対する比率を係数としてW・Lによって重回帰した結果を表-2に。同じく②による結果を表-3に示す。いずれも決定率が0.6程度とほぼ満足のいく結果となる。また重回帰式の係数を見ると、いずれもWの係数はLの係数の6倍程度であり、Wを1m変化させる効果はLを6m変化させるのと同等であると考えられる。

5. おわりに 今回の実験は、障害物による速度抑制効果を純粹にとらえるために、沿道からの飛び出しへの注意等が無用であるようだ。車にとって理想状態で走行を行なった。全般に速度が高いのはこのためと思われる。また4.に示したように、障害物を設置した場合の速度低下は、運転者の技術、個性等による差が見られ、より階層にわたる運転者の通行する一般道路では、この変動はむしろ大きくなると考えられる。したがって障害物の速度抑制効果は上述のように運転者の個人差を除去して形でとらえるのが適当と考えられる。

さらに筆者らは、ニラした車道歯曲による速度抑制手法を実際に取り入れた形で、歩行者優先街路の設計案を作成し、現行交通事故時のそれと、逆走越し状況の安全性について検討するため、模擬混合流動実験を既に終えている。

1) 天野・小谷・村上「地区内道路における交通実態の調査とその解析」(川2)

2) 天野・小谷 「路上障害物を利用した自動車の速度抑制手法に関する実験的考察」 第2回土木工学研究発表会講演集 1980年1月

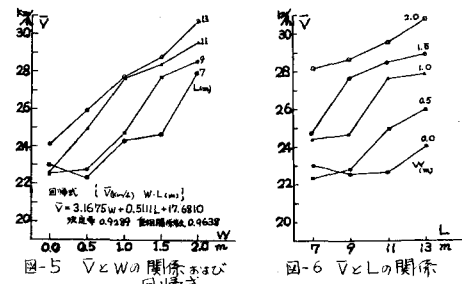
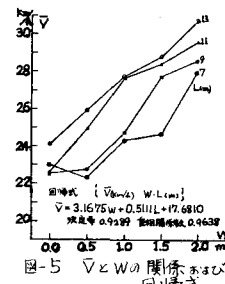


表-1 運転者別回帰分析

回帰式	$V = aW + bL + c$	$V = (a_i)W L(m)$
1	3.9875	0.6198
2	2.7528	0.6325
3	2.4218	0.0479
4	3.4000	0.6177
5	3.1198	0.6538

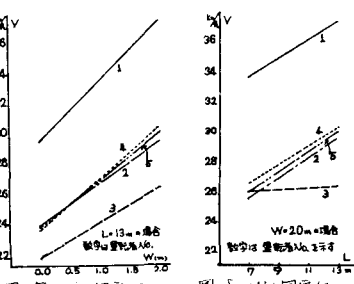


図-7 Lを固定して各運転者の回帰直線

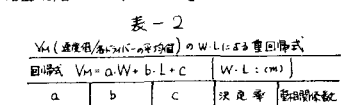


図-8 Wを固定して各運転者の回帰直線

表-2

V4(速度低減率/各2mバーの平均値)のW・Lによる重回帰式			
回帰式 $V_M = aW + bL + c$ $(W \cdot L : m)$			
a	b	c	決定率 調整R ²
0.1208	0.0196	0.6830	0.6340 0.7962

表-3

V4(速度低減率/各2mバーの最高速度)のW・Lによる重回帰式			
回帰式 $V_H = aW + bL + c$ $(W \cdot L : m)$			
a	b	c	決定率 調整R ²
0.09345	0.01502	0.53036	0.5998 0.7732